

## بررسی عددی سه بعدی رسوب گذاری و کنترل آن در آب گیرهای جانبی رودخانه‌ای

با استفاده از نرم افزار **\* SSIIM2**

(یادداشت پژوهشی)

حمید شاملو<sup>(۱)</sup>عادل اثنی عشری<sup>(۲)</sup>

**چکیده** آب گیرها عموماً در شبکه های توزیع آب، کانال های آبیاری، شبکه های فاضلاب، تأسیسات مربوط به تصفیه خانه های آب و فاضلاب و غیره مورد استفاده قرار می گیرند. عدم کنترل رسوب ورودی به آب گیرها باعث انتقال رسوبات به داخل کانال های آبیاری و تأسیسات می شود و مشکلاتی را برای قسمت های مختلف به وجود می آورد. به علت وجود ذرات معلق در آب، خسارت زیادی نیز به تأسیسات به کار رفته مثل پمپ و توربین وارد می گردد. در این مطالعه ابتدا شبیه سازی عددی جریان رسوبی در آب گیری از مسیر مستقیم یک کانال مستطیلی به کمک نرم افزار **SSIIM2** صورت گرفته است. از میان پارامترهای اصلی مؤثر بر جریان، شکل مقطع عرضی کانال، شبیه کانال های اصلی و آب گیر و شکل دهانه ای ورودی ثابت در نظر گرفته شد و اثر زوایای آب گیری ۴۵ الی ۹۰ درجه، نسبت دبی آب گیری ۰/۰۵۷ الی ۰/۰۵۰ و عده فرود جریان ورودی ۰/۳۲ الی ۰/۴۲ بر نسبت رسوب ورودی به آب گیر بررسی شد و با نتایج آزمایشگاهی مورد مقایسه قرار گرفت که مطابقت خوبی بین مقادیر حاصل و نتایج آزمایشگاهی دیده شد. سپس برای بررسی عادی روش های کنترل رسوب، تأثیر صفحات مستغرق، طول آب شکن و فاصله ای آن از مقابله دهانه ای آب گیر به ازای نسبت های مختلف دبی آب گیری بررسی شد. نتایج تحقیق نشان می دهد که کارآیی صفحات با احداث آب شکن در ضلع مقابل آب گیر افزایش پیدا می کند و مقادیر ورود رسوبات به آب گیر کاهش می یابد. همچنین با جایه جایی آب شکن به ازای دو برابر عرض دهانه ای آب گیر به بالادست کانال اصلی، مقادیر ورود رسوبات به آب گیر به طور متوسط ۳۶٪ کاهش می یابد. سپس نتایج عددی حاصل با نتایج آزمایشگاهی مورد مقایسه قرار گرفتند که مطابقت خوبی بین مقادیر حاصل و نتایج آزمایشگاهی دیده شد.

**واژه های کلیدی** آب گیر جانبی، رسوب گذاری، روش های کنترل رسوب، مدل عددی **SSIIM2**، مدل آشفتگی **K-ω**.

### 3-D Numerical Investigation of Sedimentation and its Control at River Lateral Intakes by SSIIM2 Software

H. Shamloo

A. Asnaashari

**Abstract** The intakes usually have been used in water distribution networks, irrigation channels, sewage networks, and the water/wastewater treatment facilities, etc. Lack of sediment control entered to the intake channel is the main reason of entering sediments to the installation systems, which makes many problems for different parts. Due to suspended particles in water, the facilities used such as pumps and turbines are damaged. In this study, first, numerical simulation of sediment flow in an intake from a rectangular channel using **SSIIM2** is investigated. Among the main parameters affecting the flow the channel cross-section, main channel and intake slope, and the entrance form are supposed to be constant. Then, the effects of the deviation angles 45-90 degree, ratio of diverted discharge 0.2-0.57, and Froude Number 0.32-0.48 on ratio of sediment entering to the intake have been investigated and obtained numerical results were compared with experimental results that good agreement has been observed. Then for numerical investigation of sediment control methods the effects of the submerged vanes, spur dike length, and spur dike distance from the front intake entrance for different ratios of diverted discharge were investigated. The results showed that the effective performance of the vanes increased and consequently eliminated the bed sediment ingestion into diversion with a single spur dike at opposite side of the intake. Also an average reduction of 36% in sediment ingestion into diversion was observed when a spur dike located at a distance of twice intake width from the centre line. Then obtained numerical results have been compared with experimental results that good agreement has been observed.

**Keywords** Lateral intake, Sedimentation, Sediment control methods, **SSIIM2**, k- $\omega$  turbulence model.

★ تاریخ دریافت مقاله ۹۰/۱۰/۱۹ و تاریخ پذیرش آن ۹۲/۲/۱۵ می باشد.

(۱) نویسنده مسؤول، استادیار دانشکده مهندسی عمران، دانشگاه خواجه نصیرالدین طوسی.

(۲) دانشجوی کارشناسی ارشد مهندسی عمران آب، دانشگاه خواجه نصیرالدین طوسی.

طولانی در مهندسی رودخانه دارند. مطالعات زیادی بر روی آبگیری مستقیم از رودخانه‌ها، مشکلات رسوب‌گذاری و روش‌های کنترل رسوب ورودی به آبگیرها صورت گفته است. Nakato و همکاران [1] با ساخت مدل فیزیکی برای پنج دهانه آبگیر رودخانه‌ای با بستر ماسه‌ای به بررسی مشکلات ورود رسوبات بستر به دهانه‌ی آبگیر و روش‌های کاهش آن پرداختند. Neary و Odgaard [2] مطالعات آزمایشگاهی را بر روی هیدرولیک جریان در آبگیرهای ۹۰ درجه انجام دادند. Solaymani [3] کاربرد صفحات مستغرق در مسیر مستقیم رودخانه‌ها و تأثیر آرایش و شکل صفحات بر تغییرات مرفلوژی بستر رودخانه را مطالعه نموده و نشان داده است که با افزایش دبی و سرعت جریان کارائی صفحات افزایش پیدا می‌کند. راهکارهای افزایش کارائی صفحات مستغرق توسط Brakdolk و همکاران [4] مورد بررسی قرار گرفت. آزمایش‌های انجام شده توسط ایشان نشان داد که شدت رسوبات ورودی بستر به داخل آبگیر پس از نصب صفحات مستغرق زمانی می‌تواند ناچیز باشد که نسبت دبی واحد عرض آبگیر به دبی واحد عرض کanal اصلی، کمتر از حدود ۰/۲ باشد. Kuhnle و همکاران [5] نشان دادند که برای آب‌شکن‌هایی با زوایای ۴۵ و ۹۰ درجه با دو نسبت تنگشدن ۰/۱۲۵ و ۰/۲۵ در یک کanal آزمایشگاهی، کمترین فرسایش بستر، در ناحیه نزدیک جداره به آب‌شکن با زاویه‌ی ۹۰ درجه و بزرگ‌ترین حجم آب شستگی به آب‌شکن با زاویه ۱۳۵ درجه تعلق دارد. آب‌شکن‌هایی که به سمت بالا دست متمایل باشند، به طور معمول موجب انحنای بیشتری در جریان اصلی می‌شوند. Sajedi Sabegh و Habibi [6] تأثیر کاربرد با هم صفحات مستغرق و مجموعه‌ی آب‌شکن‌ها در افزایش راندمان آبگیری را مورد بررسی قرار دادند و نشان دادند که در مواردی تا ۹۵ درصد ورود رسوبات به آبگیر کاهش یافته است. حسن پور [7] کاربرد صفحات مستغرق مرکب و آستانه را تنها برای نسبت انحراف بسیار پایین توصیه

## مقدمه

در بسیاری از تأسیسات هیدرولیکی تعیین ساختار جریان از کanal اصلی به کanal‌های جانبی از اهمیت بالایی برخوردار است. اکثر ایستگاه‌های پمپاز رودخانه‌ای مشکل رسوب‌گذاری در دهانه‌ی آبگیری و حوضچه‌ی مکش را دارند که این مسئله باعث می‌شود که چندین بار در سال نیاز به رسوب‌زدایی داشته باشند که هزینه‌ی بهره‌برداری از این‌گونه ایستگاه‌ها را به طور قابل ملاحظه‌ای افزایش می‌دهد. برای این منظور فراهم نمودن شرایطی با ویژگی‌های مناسب جهت جلوگیری از رسوب‌گذاری در دهانه‌ی آبگیر بسیار حائز اهمیت است. برخورد متقابل خطوط جریان منحرف شده با گرادیان عمودی سرعت، یک جریان گردابی به وجود می‌آورد که انتقال رسوبات، به خصوص رسوبات بار بستر به طرف آبگیر را تشديد می‌نماید. هر اقدامی که باعث کاهش جریان‌های ثانویه و گردابی در دهانه‌ی آبگیر شود، کاهش تجمع رسوب در دهانه‌ی آبگیر را در بر خواهد داشت. هم‌چنین توجه کافی نداشتن به طراحی مناسب تأسیسات کنترل رسوب در آبگیر می‌تواند مشکلاتی از قبیل کاهش ظرفیت انتقال جریان در کanal آبگیر در اثر تهشیینی رسوبات، آسیب دیدن تأسیسات انتقال و نیروگاهی، استهلاک پمپ‌ها و قطع آب جهت لای‌روی کanal‌ها و تحمیل هزینه‌های اقتصادی لای‌روی کanal‌ها را به دنبال داشته باشد. بنابراین بایستی حتی الامکان میزان رسوبات ورودی به آبگیر را با استفاده از سازه‌های انحراف و دفع رسوب، کاهش داد. یکی از روش‌های کاهش انتقال رسوب به آبگیرها استفاده از صفحات مستغرق است. تحقیقات مختلفی برای یافتن ابعاد، فوائل و زاویه‌ی برخورد با جریان و آرایش‌های مختلف نصب صفحات مستغرق صورت پذیرفته است و تحقیقات بیشتر در راستای شناخت و هم‌چنین افزایش کارائی کنترل رسوب این صفحات هم‌چنان ادامه دارد. آب‌شکن‌ها نیز به عنوان سازه‌ی حفاظتی و هدایت جریان سابقه‌ی کاربرد

با توجه به نتایج عددی حاصل، روابط ریاضی نیز ارائه گردیده شده است.

### نرم افزار عددی و معادلات حاکم

نرم افزار SSIIM به منظور شبیه سازی رسوب در آب گیرها و برای مهندسی رسوب، هیدرولیک، محیط زیست و رودخانه طراحی شده است. این نرم افزار بر مبنای رویکرد حجم محدود با شبکه‌ی سازمان یافته‌ی سه‌بعدی طراحی شده است و در آن معادلات ناویر استوکس و معادلات انتقال و انتشار برای حمل رسوب با استفاده از روش حجم کترل حل می‌شوند. هم‌چنین این نرم افزار قابلیت مدل‌سازی رسوب‌شویی توسط روابط مختلف انتقال رسوب را دارد. تحلیل جریان در حالت ماندگار صورت گرفته و از الگوریتم SIMPLE برای کوپل سرعت و فشار استفاده شده است. نسخه‌ی مدل عددی مورد استفاده در این تحقیق، نسخه‌ی ۱.۰.۰.۱ تحت ویندوز نرم افزار SSIIM2 می‌باشد.

معادلات حاکم بر حرکت سیال عبارتند از معادله‌ی پیوستگی و معادله‌ی مومنتوم که برای جریان آشفته تراکم‌ناپذیر در یک هندسه‌ی سه‌بعدی به ترتیب روابط (۱) و (۲) می‌باشند.

$$\frac{\partial \bar{U}_i}{\partial x_i} = 0 \quad (1)$$

$$\frac{\partial \bar{U}_i}{\partial t} + (\bar{U}_j) \frac{\partial \bar{U}_i}{\partial x_j} = -\frac{1}{\rho} \frac{\partial \bar{P}}{\partial x_i} + g_{xi} + \frac{\partial}{\partial x_j} [v \frac{\partial \bar{U}_i}{\partial x_j} - \bar{U}_i \bar{U}_j] \quad (2)$$

در روابط فوق،  $\bar{U}_i$  تنش رینولدز،  $U_i$  و  $U_j$  به ترتیب سرعت جریان در جهات  $x$  و  $y$ ،  $t$  زمان،  $\rho$  لزجت مولکولی،  $P$  فشار،  $k$  انرژی جنبشی آشفتگی،  $g_{xi}$  چگالی سیال و  $v$  شتاب گرانشی در جهت  $x_i$  می‌باشند.

برای محاسبه‌ی بار معلق از معادله‌ی انتقال-پخش

[12] به شرح ذیل استفاده می‌گردد:

$$\frac{\partial c}{\partial t} + U_j \frac{\partial c}{\partial X_i} + \omega \frac{\partial c}{\partial z} = \frac{\partial c}{\partial X_j} (\Gamma \frac{\partial c}{\partial X_i}) \quad (3)$$

کرده است. وی هم‌چنین نشان داده است که با افزایش عدد فرود صفحات به تر عمل می‌کنند. Ramamurthy و همکاران [8] مطالعه‌ی آزمایشگاهی در یک انسداد ۹۰ درجه و برای یک آبراهه روباز با مقطع مستطیلی انجام دادند و از ابزارهای دقیق سه‌بعدی جهت اندازه‌گیری سرعت در مقاطع مختلف استفاده نمودند. صفرزاده و صالحی نیشاپوری [9] به بررسی عددی الگوی سه‌بعدی جریان در آب گیر جانبی پرداختند. شاملو و پیرزاده [۱۰]، به بررسی اثرات پارامترهای هندسی و هیدرولیکی بر ابعاد ناحیه‌ی جدایی جریان Fluent در آب گیرهای جانبی با استفاده از نرم افزار پرداختند که مطابقت خوبی بین مقادیر حاصل و نتایج آزمایشگاهی دیده شد. شاملو و اثنی عشری [۱۱]، به بررسی عددی هیدرولیک و رسوب جریان در آب گیرهای جانبی رودخانه‌ای با استفاده از نرم افزار SSIIM2 پرداختند. ماهیت رسوب جریان در آب گیرهای جانبی شناخته شده و در کارهای آزمایشگاهی و روش‌های عددی دیگر بدان اشاره شده است.

در بخش فوق تأکید بر صحبت سنجی شبیه سازی نتایج آزمایشگاهی به وسیله‌ی نرم افزار SSIIM2 و تأکید بر توانایی این نرم افزار در بازسازی همان پدیده‌های فیزیکی است که نتایج آزمایشگاهی آن‌ها را پدیدار نموده است. در مطالعات قبلی در کنار مطالعه‌ی آزمایشگاهی به بررسی عددی الگوی سه‌بعدی رسوب‌گذاری در آب گیرهای جانبی رودخانه‌ای خصوصاً با استفاده از سازه‌های انحراف و دفع رسوب از جمله صفحات مستغرق و آب‌شکن پرداخته نشده بود. در این تحقیق، برای بررسی توانایی نرم افزار SSIIM2 در پیش‌بینی نتایج رسوب جریان و روش‌های کترل آن در آب گیرهای جانبی رودخانه‌ای، شبیه سازی عددی جریان رسوبی در آب گیری از مسیر مستقیم یک کanal مستطیلی به کمک این نرم افزار صورت گرفته و

به تغییرات ناچیز سطح آب، شرط مرزی تقارن به سطح آب اعمال شده است. شرط مرزی دیواره برای مرزهای صلب میدان اعمال شده و دیوارهای از لحاظ هیدرولیکی صاف در نظر گرفته شده‌اند. با توجه به نتایج مثبت حاصل از مطالعات قبلی، مدل آشتفتگی  $k-w$  در این مطالعه استفاده شده است. یکی از پارامترهای مهم در سرعت اجرای مدل، شبکه‌بندی مناسب منطقه‌ای می‌باشد که جریان در آن برقرار است. در این مدل‌سازی، پس از امتحان مقادیر مختلف و تست حساسیت نسبت به ابعاد شبکه، ابعاد سلول‌های شبکه‌ی کanal اصلی  $8/5 \times 6/5$  سانتی‌متر و ابعاد سلول‌های شبکه‌ی کanal آب‌گیر  $8/5 \times 6/5 \times 6/5$  سانتی‌متر به عنوان شبکه‌ی بهینه انتخاب شد. از آن‌جا که تعداد متغیرهای مؤثر بر رسوبر و رودی به آب‌گیر زیاد می‌باشد به منظور ارائه‌ی رابطه‌ی مشخص ریاضی برای تحلیل مسأله، ابتدا جهت آنالیز ابعادی رابطه‌ی کلی ذیل استخراج می‌گردد.

$$Q_{si} = F(Q_{sm}, Q_M, Q_I, Fr, \theta, b, B, S, \rho_s, N, \delta_s, \delta_n, L_D, L_I) \quad (4)$$

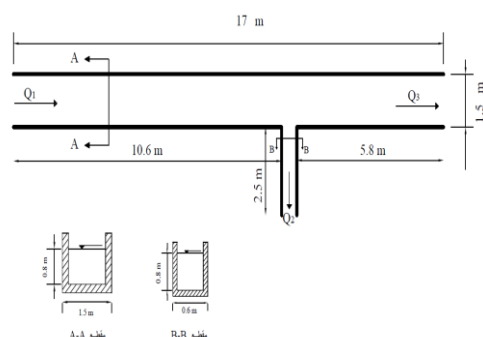
که در این رابطه، دبی رسوبر و رودی به آب‌گیر ( $Q_{si}$ )، حجم رسوبرات تنه‌نشین شده در کanal آب‌گیر ( $V_{si}$ )، دبی رسوبر کanal اصلی ( $Q_{sm}$ )، دبی جریان در کanal آب‌گیر ( $Q_M$ )، دبی جریان در کanal آب‌گیر ( $Q_I$ )، عدد فرود جریان ورودی ( $Fr$ )، زاویه‌ی آب‌گیر ( $\theta$ )، عرض کanal آب‌گیر ( $b$ )، عرض کanal اصلی ( $B$ )، شیب کanal اصلی ( $S$ )، جرم حجمی سیال ( $\rho$ )، جرم حجمی رسوبرات ( $\rho_s$ )، تعداد ردیف صفحات مستغرق ( $N$ )، فاصله‌ی طولی صفحات مستغرق ( $\delta_s$ )، فاصله‌ی عرضی صفحات مستغرق ( $\delta_n$ )، طول آب‌شکن ( $L_D$ ) و فاصله‌ی آب‌شکن تا خط مرکزی آب‌گیر ( $L_I$ ) می‌باشد.

با استفاده از آنالیز ابعادی، رابطه‌ی (۵) به دست می‌آید:

در رابطه‌ی (۳)،  $c$  غلظت رسوبر،  $U$  سرعت سقوط،  $U$  سرعت جریان،  $X$  بعد فاصله و  $\Gamma$  ضریب انتشار می‌باشد.

## نتایج و بحث

مطالعه‌ی عددی جریان رسوبری مدل آزمایشگاهی مرجع [۱۳]. در این قسمت برای صحبت‌سننجی نرم‌افزار SSIIM2 در پیش‌بینی رسوبر ورودی به آب‌گیر، به بررسی تأثیر پارامترهای مختلف نسبت دبی آب‌گیری ( $R$ ، زاویه‌ی آب‌گیری ( $\theta$ ) و عدد فرود جریان ورودی ( $F_r$ ) بر میزان رسوبرات ورودی به کanal آب‌گیر، مدل آزمایشگاهی مرجع [۱۳] شبیه‌سازی گردیده است. در این مدل آزمایشگاهی، طول کanal اصلی ۱۷ متر و عرض آن ۱/۵ متر و عمق آن ۰/۸ متر بوده است. آب‌گیری توسط کanal جانبی به عرض ۰/۶ متر و طول ۲/۵ متر که با زاویه‌ی ۹۰ درجه نسبت به آن قرار گرفته، انجام شده است. در این مطالعه‌ی آزمایشگاهی، قطر متوسط رسوبرات مصالح بستر ۱ میلی‌متر، ضخامت لایه‌ی بستر ۲۰ سانتی‌متر، شیب ۰/۰۰۱۵ و غلظت ورودی به کanal  $0/265 \text{ kg/m}^3$  در نظر گرفته شده است. شماتیک کanal مذبور در شکل (۱) نشان داده شده است



شکل ۱ مشخصات هندسی فلوم آزمایشگاهی مرجع [۱۳]  
از سرعت میانگین در ورودی کanal اصلی به عنوان شرط مرزی سرعت معین استفاده شده است. با توجه

مقایسه‌ی نتایج عددی و آزمایشگاهی در زاویه آب‌گیری ۹۰ درجه ۱۲/۱۵٪ و در زاویه آب‌گیری ۷۵ درجه میانگین خطای ۰/۰۵٪ و در زاویه آب‌گیری ۴۵ درجه میانگین خطای ۰/۸۱٪ می‌باشد. شکل (۳) تأثیر اعداد فرود ۰/۳۲ الی ۰/۴۸ را در زوایای مختلف آب‌گیری ۷۵، ۴۵ درجه بر نسبت رسوب ورودی بهازی نسبت ثابت توزیع دبی ۰/۰ نشان می‌دهد.

با توجه به شکل (۳)، با افزایش عدد فرود جریان در یک نسبت آب‌گیری ثابت، مؤلفه‌ی عرضی سرعت در جلوی دهانه‌ی آب‌گیر کاهش و مؤلفه‌ی طولی سرعت افزایش می‌یابد، در نتیجه رسوبات به پایین منتقل و رسوبات کمتری وارد دهانه‌ی آب‌گیر می‌شوند. حداقل، حدکثر و میانگین خطای حاصل در زاویه‌ی آب‌گیری ۴۵ درجه به ترتیب ۰/۰۵۶٪، ۰/۹۵۰٪ و ۰/۶۰۱٪ و در زاویه‌ی آب‌گیری ۷۵ درجه ۰/۴۴٪ و ۰/۹۲۳٪ و ۰/۱۹٪ به‌دست آمد. بر اساس رابطه‌ی (۷) و با احتساب نتایج حاصل از شکل (۳ و ۲)، رابطه‌ی (۸) برای تعیین نسبت رسوب ورودی به آب‌گیر به‌دست می‌آید:

$$Q_{sr} = R^{0.95\theta^{0.11}} \cdot Fr^{-0.42} \quad r^2 = 0.815 \quad (8)$$

تغییرات نسبت رسوب ورودی به آب‌گیر بر حسب اعداد مختلف فرود جریان در زاویه‌ی آب‌گیری ثابت ۹۰ درجه با نتایج آزمایشگاهی مرجع [۱۴] نیز در شکل (۴) مقایسه شده است. در مطالعه‌ی آزمایشگاهی آنان، طول کanal اصلی ۸ متر، عرض آن ۰/۲۵ متر و عمق جریان ۱۰ متر است و آب‌گیری توسط کanal جانبی به عرض ۰/۲ متر و طول ۲/۲۵ متر که با زاویه‌ی ۹۰ درجه نسبت به آن قرار گرفته، انجام شده است. شبکه کف کanal‌های اصلی و آب‌گیر صفر در نظر گرفته شده است.

$$\frac{Q_{si}}{Q_{sm}} = F\left(\frac{Q_M}{Q_I}, Fr, \theta, \frac{b}{B}, \frac{\rho_s}{\rho}, S, N, \frac{\delta_s}{\delta_n}, \frac{L_D}{B}, \frac{L_I}{b}\right) \quad (5)$$

با توجه به این‌که در مطالعه‌ی آزمایشگاهی مرجع [۱۳] از صفحات مستغرق و آب‌شکن استفاده نشده است، بنابراین در این قسمت پارامترهای بی بعد  $N$ ،  $\delta_s/\delta_n$  از رابطه‌ی (۵) حذف گردیده و رابطه‌ی (۶) به‌دست می‌آید.

$$\frac{Q_{si}}{Q_{sm}} = F\left(\frac{Q_M}{Q_I}, Fr, \theta, \frac{b}{B}, \frac{\rho_s}{\rho}, S\right) \quad (6)$$

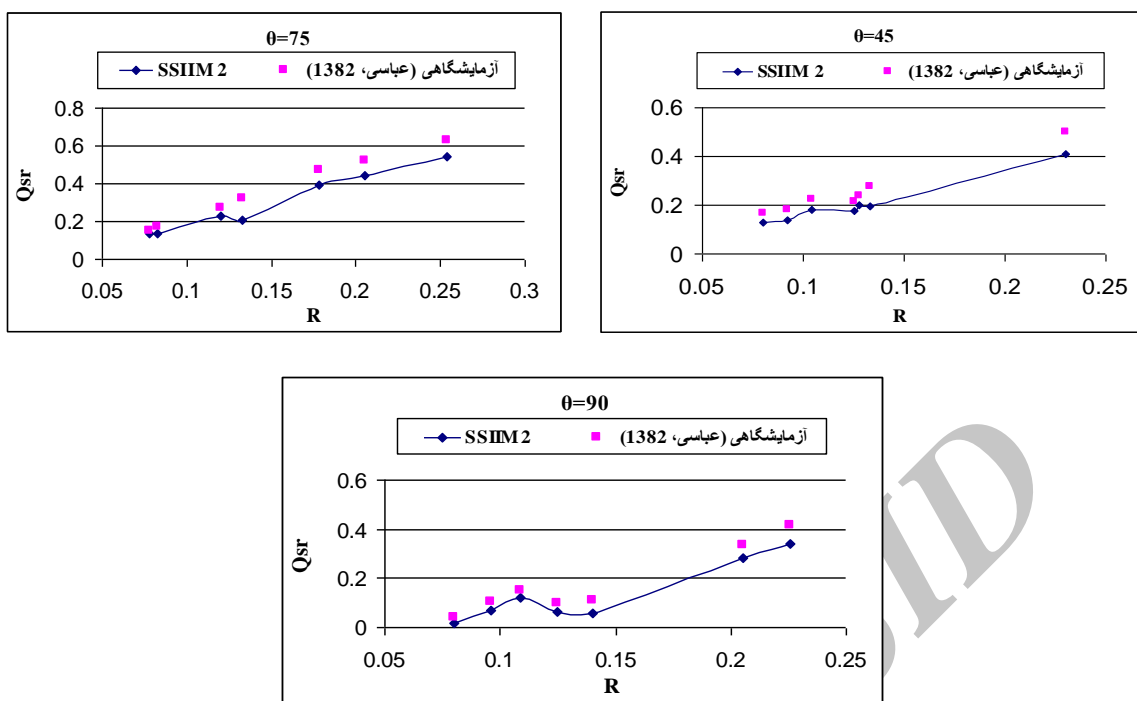
شبکه کanal اصلی، عرض کanal اصلی و آب‌گیر و دبی جریان در کanal اصلی ثابت می‌باشد، بنابراین پارامترهای  $\rho_s/\rho$ ،  $S$  و  $b/B$  از بین متغیرهای بدون بعد حذف می‌شوند. در نهایت اعداد بی بعد زیر برای بررسی اثرات متغیرها بر میزان ورود رسوبات به آب‌گیر در نظر گرفته شده است:

$$Q_{sr} = F(R, Fr, \theta) \quad (7)$$

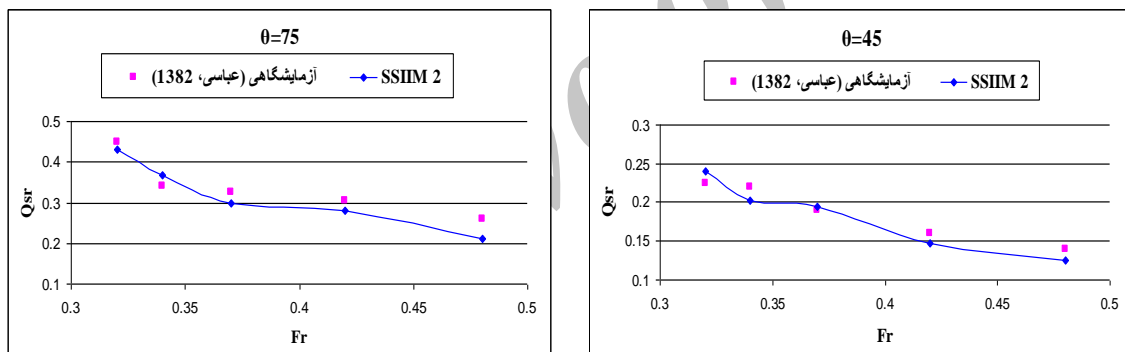
که در این رابطه،  $Q_{sr}$  نسبت رسوب ورودی به آب‌گیر ( $Q_{si}/Q_{sm}$ )،  $R$  نسبت دبی آب‌گیری ( $Q_M/Q_I$ ) می‌باشدند. ابتدا به بررسی تأثیر تغییرات  $R$  و  $\theta$  بر  $Q_{sr}$  پرداخته شده است.

شکل (۲)، مقایسه‌ی نتایج عددی و آزمایشگاهی تأثیرات  $R$  بر  $Q_{sr}$  در زوایای مختلف آب‌گیری ۴۵، ۷۵ و ۹۰ درجه را به‌ازای دبی ثابت ورودی ( $Q_M$ ) ۷۸ لیتر بر ثانیه و عدد فرود ثابت جریان ورودی ۰/۴ نشان می‌دهد.

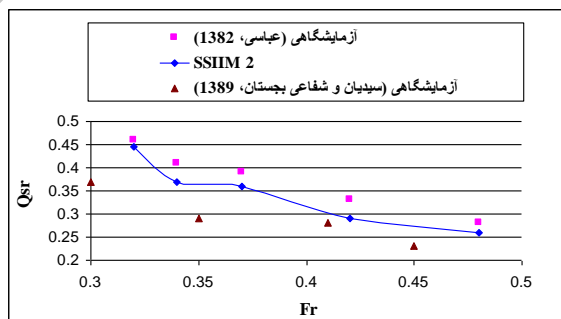
بررسی نتایج حاصل از شکل (۲) نشان می‌دهد همان‌طور که انتظار می‌رود در انطباق با نتایج مرجع [۴]، با افزایش نسبت آب‌گیری، نسبت رسوب ورودی به آب‌گیر افزایش می‌یابد. با توجه به نتایج به‌دست آمده از شکل (۲)، درصد خطای میانگین حاصل از



شکل ۲ تغییرات نسبت رسوب ورودی به آب گیر بر حسب نسبت دبی آب گیری در زوایای مختلف آب گیری ۷۵، ۴۵ و ۹۰ درجه

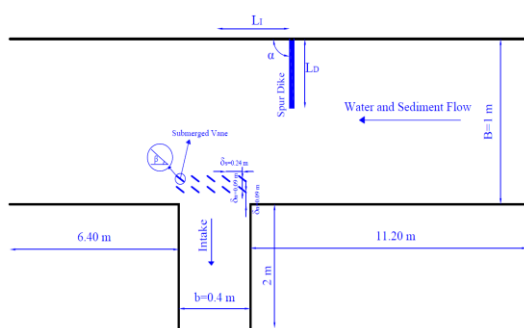


شکل ۳ تغییرات نسبت رسوب ورودی به آب گیر بر حسب اعداد مختلف فرود جریان در زوایای مختلف آب گیری



شکل ۴ تغییرات نسبت رسوب ورودی به آب گیر بر حسب عدد فرود جریان در تحقیق حاضر با سایر محققان [۱۴]

مقابل آب‌گیر، ۴۰ سانتی‌متر بالاتر از آب‌گیر ( $L_1$ ) و ۸۰ سانتی‌متر بالاتر از آب‌گیر ( $2L_1$ ) به کار رفته که زوایای به کار رفته برای آب‌شکن ۴۵ درجه، ۹۰ درجه و ۱۳۵ درجه بوده است. مشخصات هندسی فلوم آزمایشگاهی در شکل (۵) نشان داده شده است.



شکل ۵ مشخصات هندسی فلوم آزمایشگاهی [۱۵]

در این مدل‌سازی، پس از امتحان مقادیر مختلف و تست حساسیت نسبت به ابعاد شبکه‌ی مورد نظر، ابعاد سلول‌های شبکه‌ی کanal اصلی در قبل و بعد از آب‌گیر به ترتیب  $12 \times 10 \times 10$  و  $9 \times 20 \times 10$  سانتی‌متر، در محدوده‌ی آب‌گیر  $2 \times 10 \times 10$  سانتی‌متر و ابعاد سلول‌های شبکه‌ی کanal آب‌گیر  $2 \times 7 \times 10$  سانتی‌متر به عنوان شبکه‌ی بهینه انتخاب شد.

شکل و ابعاد کanal اصلی و کanal آب‌گیر، شیب کanal اصلی، دبی جریان در کanal اصلی، زاویه‌ی آب‌گیری، ابعاد و آرایش صفحات مستغرق، زاویه‌ی آب‌شکن با جریان اصلی و دانه‌بندی مصالح بستر در این آزمایش ثابت است. همچنین به علت این‌که عدد رینولدز جریان در محدوده‌ی جریان‌های آشفته قرار دارد ( $Re=60000$ ) اثر لزجت در مقابل اینرسی قابل صرف‌نظر کردن می‌باشد. با توجه به یکسان بودن شرایط هیدرولیکی کanal بالا‌دست، عدد  $Fr$  نیز در این مطالعه ثابت بوده و در نهایت بر اساس رابطه‌ی (۵) و حذف پارامترهای ذکر شده، اعداد بی‌بعد زیر برای بررسی اثرات متغیرها بر میزان ورود رسوبات به آب‌گیر در نظر گرفته شده است:

همان‌طورکه در شکل (۴) مشاهده می‌شود، نتایج حاصل از تحقیق حاضر مطابقت نسبتاً خوبی با نتایج آزمایشگاهی مرجع [۱۴] دارد و در آن به‌ازای زاویه‌ی آب‌گیری ثابت، با افزایش عدد فرود جریان ورودی، نسبت رسوب ورودی به آب‌گیر کاهش می‌یابد. در نهایت با توجه به نتایج حاصل از بررسی عددی مطالعات آزمایشگاهی مراجع [۱۴ و ۱۳] و جمع‌بندی نتایج آن‌ها، رابطه‌ی کلی (۹) پیشنهاد می‌گردد. در مطالعه‌ی آزمایشگاهی [۱۴] پارامترهای  $R$  و  $\theta$  ثابت فرض شده بودند.

$$Q_{sr} = R^{0.795\theta^{0.352}} \cdot Fr^{-0.296} \quad r^2 = 0.785 \quad (9)$$

در بخش دوم این مطالعه، برای کنترل و کاهش میزان رسوبات ورودی به آب‌گیر، از سازه‌های انحراف و دفع رسوب از جمله صفحات مستغرق و آب‌شکن استفاده شده و تأثیر آن‌ها بر کاهش میزان رسوب ورودی مورد بررسی قرار گرفته است.

مطالعه‌ی عددی روش‌های کنترل رسوب با استفاده از مدل آزمایشگاهی. گوهري و همکاران [۱۵] در این مدل آزمایشگاهی، طول کanal اصلی ۱۸ متر، عرض آن ۱ متر و عمق آن ۱ متر بوده است. آب‌گیری توسط کanal جانبی به عرض  $0.4 \times 0.4$  متر و طول ۲ متر که در  $11/2$  متری پایین‌دست ورودی کanal اصلی و با زاویه‌ی  $90^\circ$  درجه نسبت به آن قرار دارد انجام شده است. دبی جریان ورودی ثابت و برابر  $0.056 \text{ مترمکعب بر ثانية}$ ، قطر ذره رسوب  $1 \text{ میلی‌متر}$ ، شیب کanal  $0.002$ ، مدت زمان آزمایش  $4$  ساعت، چگالی ذرات رسوبی برابر  $2/65 \text{ گرم بر سانتی‌مترمکعب}$  و عمق رسوبات در کلیه‌ی آزمایش‌ها ثابت و برابر  $20 \text{ سانتی‌متر}$  در نظر گرفته شد. فاصله‌ی طولی صفحات از هم ( $\delta_s$ )  $24$  سانتی‌متر، فاصله‌ی عرضی آن‌ها ( $\delta_n$ )  $9$  سانتی‌متر و زاویه‌ی صفحات ( $\beta$ )  $45^\circ$  درجه می‌باشد. طول آب‌شکن‌های ( $L_D$ ) به کار رفته  $15$  و  $20$  سانتی‌متر بوده است. آب‌شکن در سه موقعیت مختلف:

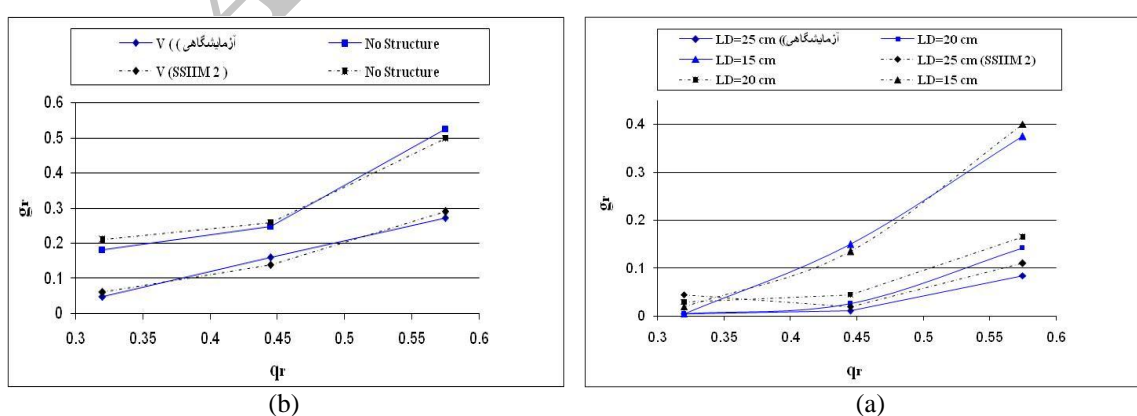
می‌باشد، تأثیر آن در میزان رسوب ورودی کمتر است [۱۵]. با افزایش نسبت دبی انحرافی از  $0/45$  الی  $0/57$  مقدار رسوبات ورودی به آب‌گیر به دلیل افزایش سرعت در آب‌گیر در حین ثابت بودن عمق جریان و افزایش شدت حمل رسوبات در کanal آب‌گیر، بیشتر می‌شود. در شکل (۷) متوسط سرعت‌های طولی ( $U$ )، عرضی ( $V$ ) و عمقی جریان ( $W$ ) در کanal اصلی و در محدوده‌ی آب‌گیر نشان داده شده است. سرعت جریان در  $0/16$  عمق جریان (مطابق مطالعه‌ی آزمایشگاهی) می‌باشد. با توجه به شکل (۷)، با افزایش طول آب‌شکن متوسط سرعت طولی و عمقی جریان افزایش یافته در حالی که در حالت عدم استفاده از آب‌شکن و صفحات مستغرق متوسط سرعت طولی و عمقی کاهش می‌یابد. حداقل، میانگین و حداقل خطای حاصل از مقایسه‌ی نتایج عددی و آزمایشگاهی در طول آب‌شکن  $15$  سانتی‌متر برای محاسبه‌ی سرعت طولی به ترتیب  $1/11$ ٪،  $3/86$ ٪ و  $5/25$ ٪، برای محاسبه سرعت عرضی به ترتیب  $11/35$ ٪،  $7/91$ ٪ و  $14/06$ ٪ است و برای محاسبه‌ی سرعت عمقی به ترتیب  $14/95$ ٪،  $6/97$ ٪ و  $18/67$ ٪ می‌باشد. کارآیی صفحات مستغرق بدون آب‌شکن در کنترل رسوب با نتایج سایر محققان نیز در شکل (۸) مقایسه شده است.

$$g_r = F(q_r, \frac{L_D}{B}, \frac{L_I}{b}) \quad (10)$$

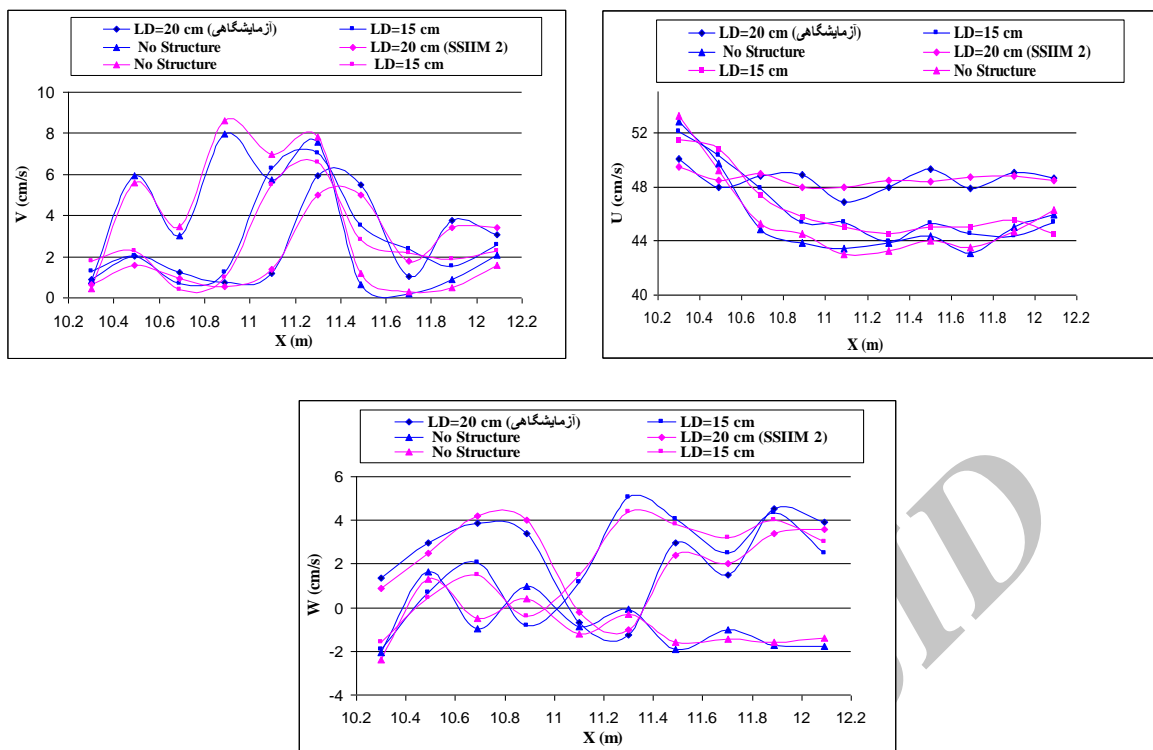
$$V_r = F(q_r, \frac{L_D}{B}) \quad (11)$$

که در این روابط،  $g_r$  نسبت رسوبات خروجی از کanal آب‌گیر به رسوبات ورودی به کanal اصلی ( $Q_{sr}$ )،  $V_r$  نسبت حجم رسوبات تهنشین شده در کanal آب‌گیر به حجم رسوبات ورودی به کanal اصلی ( $V_{si}/V_{sm}$ )،  $L_D/B$  طول نسبی آب‌شکن،  $q_r$  نسبت دبی آب‌گیری و  $L_I/b$  فاصله‌ی نسبی آب‌شکن از خط مرکزی کanal آب‌گیر می‌باشند. ابتدا تأثیر طول‌های مختلف آب‌شکن (۶) به‌ازای نسبت‌های مختلف دبی آب‌گیری ( $q_r$ ) در حالت استفاده از آب‌شکن بدون صفحه‌ی مستغرق، با وجود صفحه و بدون استفاده از آب‌شکن (۷) و همچنین بدون استفاده از صفحه و آب‌شکن (No structure) بر نسبت رسوبات ورودی به آب‌گیر جانبی ( $g_r$ ) مورد بررسی قرار گرفت. شکل (۶) تأثیر طول‌های مختلف آب‌شکن  $15$ ،  $20$  و  $25$  سانتی‌متر و حالت‌های مختلف وجود و عدم وجود صفحات مستغرق را بر میزان رسوبات ورودی به آب‌گیر به‌ازای نسبت‌های مختلف دبی نشان می‌دهد.

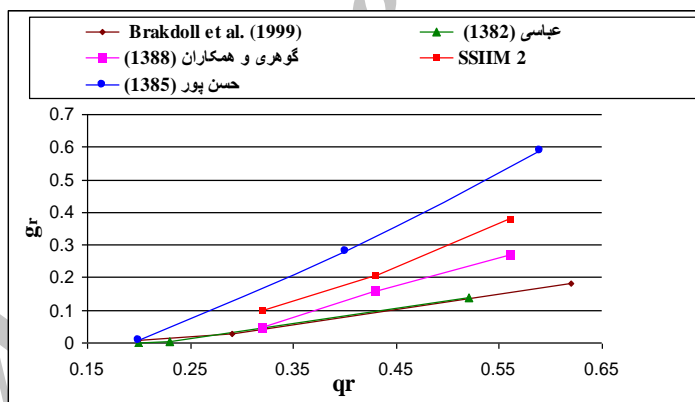
همان‌طور که در شکل (۶) مشاهده می‌شود، با افزایش طول آب‌شکن مقدار ورود رسوبات به آب‌گیر کاهش می‌یابد. هنگامی که طول آب‌شکن  $15$  سانتی‌متر



شکل ۶ تأثیر طول آب‌شکن (a) و حالت‌های مختلف وجود و عدم وجود صفحات مستغرق (b) بر شدت رسوبات ورودی به آب‌گیر



شکل ۷ تغییرات سرعت جریان برای طولهای مختلف آب‌شکن ( $L_d=40\text{cm}$ ,  $q_r=0.3$ ,  $a=90^\circ$ ) و وجود صفحات مستغرق



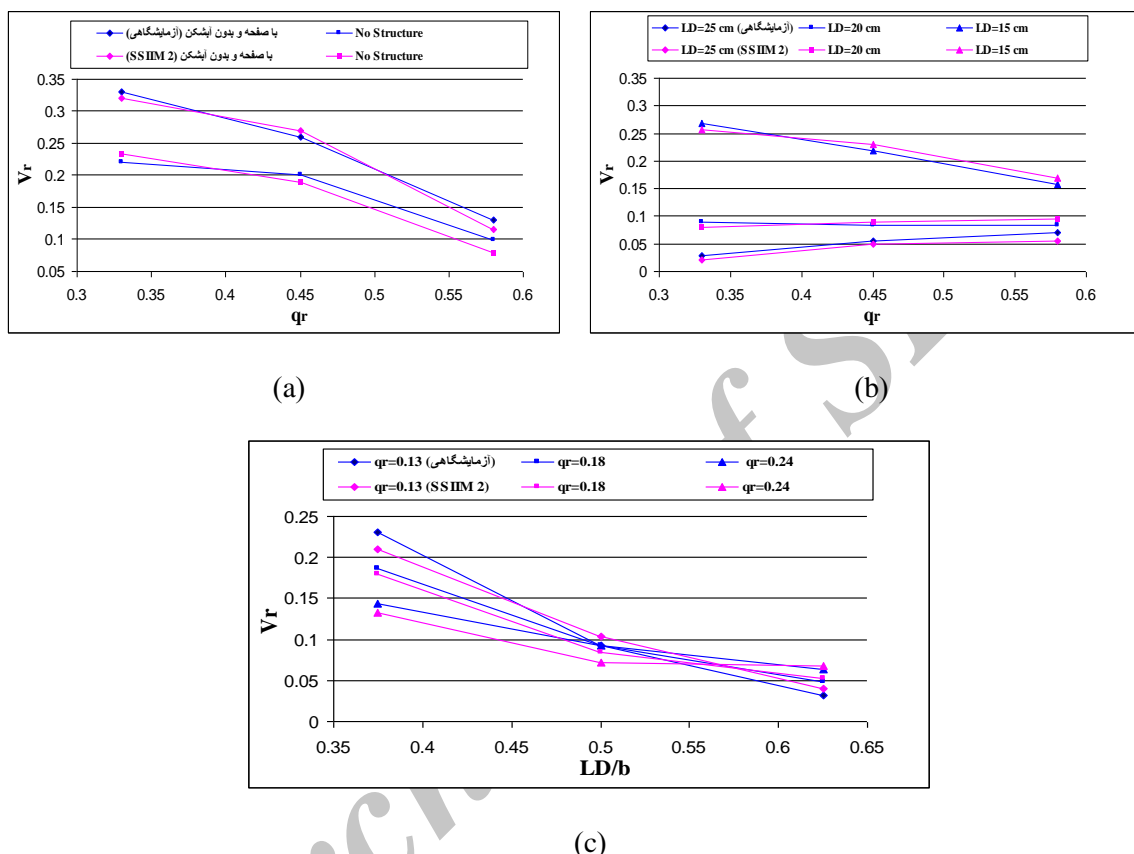
شکل ۸ مقایسه تغییرات نسبت انحراف رسواب با نسبت انحراف جریان در تحقیق حاضر و سایر محققان

مدل آزمایشگاهی می‌باشد. با توجه به شکل (a-۹)، در حالت استفاده از صفحات مستغرق، مقدار ورود رسوابات به آب‌گیر به طور متوسط  $30\%$  کاهش می‌یابد. همچنین با توجه به شکل (b-۹)، با افزایش طول آب‌شکن از  $15$  سانتی‌متر به  $20$  سانتی‌متر، مقدار ورود رسوابات به آب‌گیر به طور متوسط  $44\%$  کاهش یافت. در نسبت آب‌گیری  $57/0$  نیز با افزایش طول آب‌شکن مقدار انباشت رسوابات در داخل آب‌گیر کاهش می‌یابد

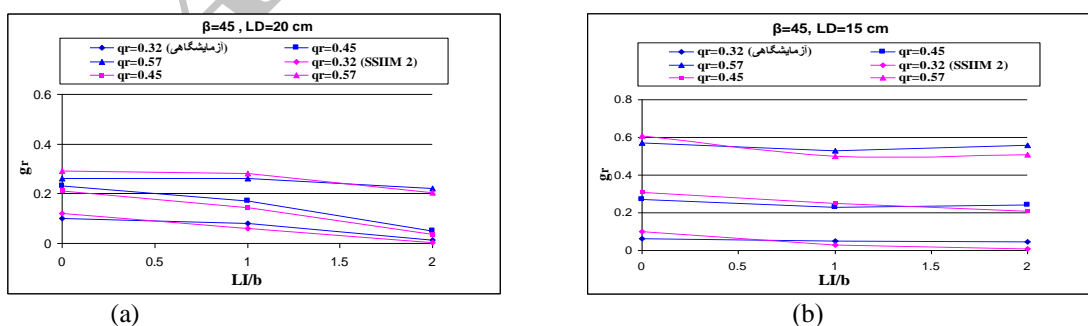
همان‌طور که در این نمودار دیده می‌شود روند کلی تغییرات رسوابی خروجی از آب‌گیر با افزایش دبی آب‌گیری یکسان است و در همه‌ی آن‌ها با افزایش نسبت دبی آب‌گیری، مؤلفه‌ی عرضی سرعت در جلوی دهانه‌ی آب‌گیر افزایش می‌یابد و در نتیجه نسبت رسواب ورودی به آب‌گیر نیز افزایش می‌یابد. میزان اختلاف نتایج عددی در مقایسه با نتایج سایر محققان، به دلیل متفاوت بودن پارامترهای هندسی و هیدرولیکی

٪/۸۵، ٪/۶۵، ٪/۳۸ و ٪/۴۶ است و با توجه به شکل (a-۹) حداقل، میانگین و حداقل خطای حاصل در حالت عدم استفاده از صفحات مستغرق و آب شکن به ترتیب ٪/۹۴، ٪/۳۴ و ٪/۵۶ می باشد.

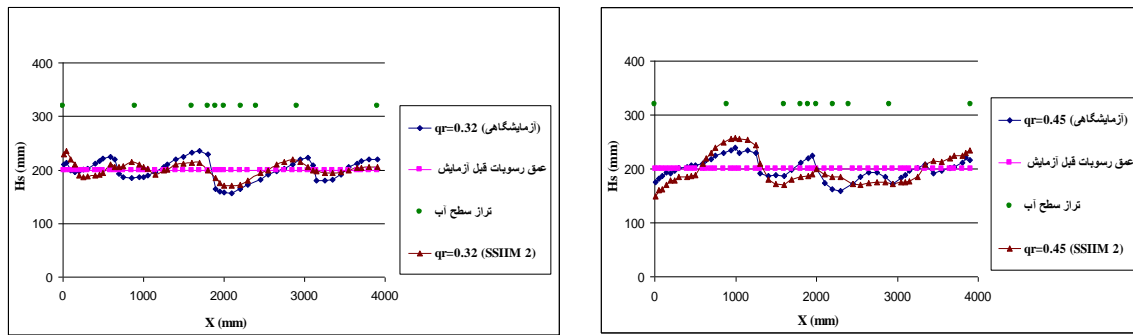
که نشان می دهد با افزایش طول آب شکن مقدار سرعت جریان در آب گیر بیشتر می شود و رسوبات به آب گیر نیز کاهش می یابد. با توجه به شکل (b-۹)، حداقل، میانگین و حداقل خطای حاصل از مقایسه در طول آب شکن ۱۵ سانتی متر به ترتیب



شکل ۹ تغییرات متوسط حجم نسبی رسوب در آب گیر با (a) دی انجرافی، (b) طول نسبی آب شکن



شکل ۱۰ تأثیر فاصله ای نسبی آب شکن (a و b) و طول نسبی آب شکن (c) بر نسبت رسوب ورودی به آب گیر



شکل ۱۱ پروفیل بار بستر قبل از شروع آزمایش‌ها و پس از رسیدن به تعادل بهازای نسبت‌های دبی آب‌گیری ۰/۳۲ و ۰/۴۵

خطای حاصل در  $q_r=0.13$  به ترتیب  $0/869$ ٪،  $0/101$ ٪ و  $0/1182$ ٪، در  $q_r=0.18$  به ترتیب  $0/374$ ٪،  $0/111$ ٪ و  $0/115$ ٪ و در  $q_r=0.24$  به ترتیب  $0/588$ ٪،  $0/1162$ ٪ و  $0/1823$ ٪ به دست آمد. بر اساس رابطه (۱۱) و با احتساب نتایج آزمایشگاهی [۱۵] حاصل از شکل (۹)، رابطه (۱۲) برای تعیین حجم نسبی رسوب در آب‌گیر بر حسب نسبت دبی انحرافی و طول نسبی آب‌شکن پیشنهاد می‌گردد.

$$V_r = 0.493 + 0.357qr - 1.107\left(\frac{L}{D}\right) \quad r^2 = 0.905 \quad (12)$$

در شکل (۱۰)، تأثیر فاصله‌ی نسبی قرارگیری آب‌شکن از آب‌گیر ( $L/b$ ) در طول‌های مختلف آب‌شکن ۱۵ سانتی‌متر (a) و ۲۰ سانتی‌متر (b) بر نسبت رسوب ورودی به آب‌گیر (g<sub>r</sub>) مورد بررسی قرار گرفته است. همان‌طور که مشاهده می‌کنیم با نصب آب‌شکن در مقابل آب‌گیر مقدار رسوبات ورودی به آب‌گیر کاهش یافته است. این امر به دلیل افزایش سرعت عرضی در مقابل جریان است (شکل ۳). با افزایش طول نسبی آب‌شکن (d)، کاهش نسبی سرعت عرضی جریان و افزایش متوسط سرعت طولی از ورود رسوبات به آب‌گیر کاسته می‌شود. زاویه‌ی قرارگیری صفحات مستغرق ( $\beta$ )، مطابق مطالعه‌ی آزمایشگاهی ۴۵ درجه در نظر گرفته شده است.

حداقل، میانگین و حداقلر خطای حاصل از مقایسه‌ی نتایج عددی و آزمایشگاهی در  $q_r=0.32$  با

همان‌طور که در این نمودار دیده می‌شود روند کلی تغییرات رسوبی خروجی از آب‌گیر با افزایش دبی آب‌گیری یکسان است و در همه‌ی آن‌ها با افزایش نسبت دبی آب‌گیر، مؤلفه‌ی عرضی سرعت در جلوی دهانه‌ی آب‌گیر افزایش می‌بابد و در نتیجه نسبت رسوب ورودی به آب‌گیر نیز افزایش می‌بابد. میزان اختلاف نتایج عددی در مقایسه با نتایج سایر محققان، به دلیل متفاوت بودن پارامترهای هندسی و هیدرولیکی مدل آزمایشگاهی می‌باشد. با توجه به شکل (a-۹)، در حالت استفاده از صفحات مستغرق، مقدار ورود رسوبات به آب‌گیر به طور متوسط ۳۰٪ کاهش می‌بابد. همچنین با توجه به شکل (b-۹)، با افزایش طول آب‌شکن از ۱۵ سانتی‌متر به ۲۰ سانتی‌متر، مقدار ورود رسوبات به آب‌گیر به طور متوسط ۴۴٪ کاهش یافت. در نسبت آب‌گیری ۵۷٪ نیز با افزایش طول آب‌شکن مقدار انباشت رسوبات در داخل آب‌گیر کاهش یافت که نشان می‌دهد با افزایش طول آب‌شکن مقدار سرعت جریان در آب‌گیر بیشتر می‌شود و ورود رسوبات به آب‌گیر نیز کاهش می‌بابد. با توجه به شکل (b-۹)، حداقل، میانگین و حداقلر خطای حاصل از مقایسه در طول آب‌شکن ۱۵ سانتی‌متر به ترتیب ۸۴٪، ۸۸٪ و ۶۵٪ است و با توجه به شکل (a-۹) حداقل، میانگین و حداقلر خطای حاصل در به ترتیب ۳۴٪، ۹۴٪ و ۵۶٪ می‌باشد همچنین با توجه به شکل (c-۹)، حداقل، میانگین و حداقلر

بیشتری از جریان عبوری از کanal اصلی وارد کanal آب‌گیر شود و مؤلفه‌ی عرضی سرعت در جلوی دهانه‌ی آب‌گیر با افزایش نسبت آب‌گیری افزایش یافته و در نتیجه رسوبات بیشتری وارد کanal آب‌گیر می‌شود.

- در یک نسبت ثابت آب‌گیری، با افزایش زاویه آب‌گیری نسبت رسوب ورودی به آب‌گیر افزایش می‌یابد.

$$g_r = 0.335 + 0.927qr - 1.125 \left( \frac{L_D}{B} \right) \quad (13)$$

$$-0.041 \left( \frac{L_I}{b} \right) r^2 = 0.850$$

- با نصب آب‌شکن در بالاتر از آب‌گیر (به سمت ورودی کanal اصلی) و افزایش  $L_I/b$ ، سطح رسوبات در مقابل آب‌گیر به دلیل افزایش سرعت جریان، پایین‌تر می‌رود و با این عمل، آستانه‌ای در مقابل آب‌گیر ایجاد می‌شود که مانع ورود رسوبات به داخل آب‌گیر خواهد شد.

متوسط تراز بستر پس از رسیدن به تعادل با تغییر دبی آب‌گیری نیز تقریباً ثابت می‌ماند و مجموع رسوبات وارد شده به محدوده‌ی آب‌گیر و رسوبات خارج شده از محدوده‌ی آب‌گیر تقریباً ثابت است. همچنین متوسط عمق رسوبات تهنشین شده در بستر در حالت عددی به ترتیب برابر  $203/6$  و  $199/8$  میلی‌متر به دست آمد.

- بر اساس آنالیز ابعادی، نسبت رسوب ورودی به آب‌گیر به طول نسی، فاصله‌ی نسبی قرارگیری آب‌شکن از دهانه‌ی آب‌گیر و نسبت دبی آب‌گیری بستگی دارد. همچنین بر اساس آنالیز ابعادی، رابطه‌ای برای تعیین حجم نسبی رسوب ورودی به آب‌گیر استخراج گردید.

توجه به شکل (a-۱۰)، به ترتیب  $9/۰۹$ ٪،  $۱۲/۵۴$ ٪،  $۱۶/۶۷$ ٪، با توجه به شکل (b-۱۰) به ترتیب  $۱۱/۲۵$ ٪،  $۱۶/۴۴$ ٪،  $۲۵/۰۲$ ٪ و با توجه به شکل (c-۱۰) به ترتیب  $۸/۱۸$ ٪،  $۱۳/۰۷$ ٪،  $۱۹/۲۲$ ٪ می‌باشند. همچنین  $q_r=0.32$  حداقل، میانگین و حداقل خطا حاصل در  $10/۶۵$ ٪ با توجه به شکل (d-۱۰)، به ترتیب  $۶/۱۳$ ٪،  $۱۰/۶۵$ ٪،  $۱۳/۳۳$ ٪ به دست آمد.

برای نشان دادن تأثیر نسبت دبی آب‌گیری ( $q_r$ )، طول آب‌شکن ( $L_D$ )، فاصله‌ی قرارگیری آب‌شکن از دهانه‌ی آب‌گیر ( $L_I$ )، عرض آب‌گیر (b) و کanal اصلی (B) بر میزان رسوبات ورودی به داخل آب‌گیر ( $g_r$ )، با توجه به آنالیز ابعادی، تحلیل آماری نتایج آزمایشگاهی شکل (۱۰) و بر اساس رابطه‌ی (۱۰)، رابطه‌ی نهایی به شرح زیر استخراج گردید. مقدار میانگین مربعات ( $r^2$ ) مربوط به رابطه در کنار آن نوشته شده است.

شکل (۱۱) پروفیل بار بستر را پس از رسیدن به تعادل نسبی در دو حالت آزمایشگاهی و عددی نشان می‌دهد. با توجه به شکل (۱۱)، متوسط عمق رسوبات تهنشین شده در بستر در حالت آزمایشگاهی به ازای نسبت‌های دبی آب‌گیری  $۰/۳۲$  و  $۰/۴۵$  به ترتیب برابر  $۱۹۹/۲$  و  $۲۰۲$  میلی‌متر است در حالی که این مقادیر در حالت عددی به ترتیب برابر  $۲۰۳/۶$  و  $۱۹۹/۸$  میلی‌متر به دست آمد. عمق رسوبات قبل از کلیه‌ی آزمایش‌ها برابر  $۲۰۰$  میلی‌متر بوده است.

### نتیجه‌گیری

در مجموع نتایج حاصل برای جریان‌هایی با شرایط اعمال شده در این تحقیق عبارتنداز:

- افزایش نسبت آب‌گیری باعث می‌شود که بخش

### مراجع

1. Nakato, T. et al., "A Hydraulic Model Study: Design of Sediment-Control Devices for the Intakes near River", IIRR Limited Distribution Rep. No. 194, Iowa Institute of Hydraulic Research, Iowa City, Iowa, (1992).

2. Neary, V.S. and Odgaard, A.J., "Three-Dimensional Flow Structure at Open Channel Diversions", *J. Hydr. Engng, ASCE*, 119(11), pp. 1224–1230, (1993).
3. Solaymani Osbooei, H.R., "Investigation of Submerged Vane Array on Rivers bed Morphology", M.Sc. Thesis in Environmental Engineering, Tehran Univ. 175p. (1996), (In Persian).
4. Brakdoll et al., "Sediment Control at Lateral Diversions: Limits and Enhancements to Vane Use", *J.HYDR.Eng.ASCE*, 129(2), pp. 83-87, (1999).
5. Kuhnle, R.A., Alonso, C.V., and Shields, F.D.Jr. "Geometry of Scour Holes Associated with 90° Spur Dikes", *Journal of Hydraulic Engineering, ASCE*, 125:9, pp. 972-978, (1999).
6. Sajedi Sabegh, M. and Habibi, M., "Laboratory Investigation of Using Submerged Vane and Dikes on Efficiency of Intakes", Proceeding of 4th hydraulic conference, pp. 35-42, (2003).
7. حسن پور، فرزاد، «کاربرد صفحات مستغرق مركب و آستانه در آب گيرهای جانبی»، رساله دکتری، دانشگاه تربیت مدرس، دانشکده فنی و مهندسی عمران صفحه ۲۲۷ (۱۳۸۵).
8. Ramamurthy A.S., Junying Qu and Diep VO., "Numerical and Experimental Study of Dividing Open-Channels Flows", *Journal of Hydraulic Engineering, Vol.133, No.10, 2007*, pp. 1135-1144, (2007).
9. صفرزاده، اکبر و صالحی نیشاپوری، علی اکبر، «مدل سازی عددی الگوی سبعدی جریان در آب گیر جانبی»، اولین کنگره ملی مهندسی عمران، (۱۳۸۳).
10. شاملو، حمید و پیرزاده، بهاره، «بررسی اثرات پارامترهای هندسی و هیدرولیکی بر ابعاد ناحیه‌ی جدایی جریان در آب گیرهای جانبی با استفاده از نرم‌افزار Fluent»، نشریه تخصصی مهندسی عمران- نقشه برداری، (۱۳۸۹).
11. شاملو، حمید و اثنی عشری، عادل، «بررسی عددی هیدرولیک جریان و رسواب در آب گیرهای جانبی رودخانه‌ای با استفاده از نرم‌افزار SSIIM2»، نهمین کنفرانس هیدرولیک ایران، دانشگاه تربیت مدرس، (۱۳۸۹).
12. Olsen, N.B.R, "Three-Dimensional Numerical Model for Simulation of Sediment Movements in Water Intakes with Multiblock Option", Department of hydraulic and environmental engineering, the Norwegian university of science and technology, (2006).
13. عباسی، علی اکبر، «مطالعه آزمایشگاهی کنترل رسواب در آب گیرهای جانبی در مسیرهای مستقیم»، رساله دکتری، دانشگاه تربیت مدرس، دانشکده فنی و مهندسی عمران، (۱۳۸۲).
14. سیدیان، سید مرتضی و شفاعی بجستان، محمود، «مقایسه رسواب معلق ورودی به آب گیر با تغییر زاویه‌ی دیواره‌ی کanal اصلی از قائم به درجه»، نشریه‌ی آب و خاک، دانشگاه فردوسی مشهد، صفحه ۹۸۵-۹۹۴، ۹۸۵-۹۹۴ (۱۳۸۹).
15. گوهری، سعید و همکاران، «تأثیر صفحات مستغرق و آب‌شکن در کنترل رسواب ورودی به آب گیر جانبی»، مجله‌ی پژوهش‌های حفاظت آب و خاک، جلد شانزدهم، شماره دوم، دانشگاه علوم کشاورزی و منابع طبیعی گرگان، (۱۳۸۸).